

УДК 539.4

## ВЗАИМОДЕЙСТВИЕ УСТАЛОСТНЫХ ТРЕЩИН

КОВЕХ В. М.

Рассмотрена задача о взаимодействии и слиянии трещин циклической усталости в условиях сложного напряженного состояния. Для решения использованы положения объединенной теории роста усталостных трещин [1, 2]. Развита метод численного моделирования процесса роста системы коллинеарных трещин. Приведены результаты расчета подрастания двух и трех трещин различной длины, расположенных на одной прямой. Изучено влияние начальных расстояний между трещинами на процесс их роста.

1. Рассмотрим систему  $m$  плоских трещин в теле, находящемся в условиях плоского напряженного состояния или плоской деформации. Трещины коллинеарны и заданы при помощи векторов  $\mathbf{l}=(l_1, \dots, l_{2m})$  и  $\mathbf{d}=(d_1, \dots, d_{m-1})$ , где  $l_j$  — характерные размеры трещин,  $d_n$  — начальные расстояния между серединами трещин. Номинальные напряжения  $\sigma_x(t)$ ,  $\sigma_y(t)$ ,  $\tau_{xy}(t)$  циклически изменяются во времени. Их изменение будем характеризовать размахами  $\Delta\sigma_x(N)$ ,  $\Delta\sigma_y(N)$ ,  $\Delta\tau_{xy}(N)$  в течение  $N$ -го цикла.

Согласно теории [1, 2] рост усталостных трещин определяется взаимодействием двух механизмов: высвобождения энергии при продвижении трещины и накопления микроповреждений у ее фронта. Усталостная трещина растет только тогда, когда нарушается условие устойчивости по Гриффитсу, сформулированное с учетом накопленных микроповреждений. После продвижения фронта на отрезок, определенный условием энергетического баланса и имеющий порядок характерного радиуса кривизны на фронте трещины или характерного размера структуры, рост прекращается до следующего момента нарушения устойчивости. Если нового устойчивого размера трещины в пределах тела не существует, то это означает финальное разрушение тела. Для материала тела примем модель линейной механики разрушения с тем существенным отличием, что будем учитывать рассеянные микроповреждения.

Предполагаем, что рост каждой из  $m$  трещин происходит в ее начальной плоскости. В этом случае траектория продвижения фронта любой трещины заранее определена и задача становится  $2m$ -параметрической. Система трещин в течение  $N$ -го цикла подрастает по  $m_1$  обобщенным координатам, если выполняется условие

$$\sup_{t_{N-1} < t \leq t_N} \{G_j[\mathbf{l}(t), \mathbf{d}(t), \sigma_y(t), \tau_{xy}(t)] - \Gamma_j[\mathbf{l}(t), \mathbf{d}(t), \varphi_1(t), \varphi_2(t)]\} > 0 \quad (j=1, \dots, m_1) \quad (1.1)$$

Здесь  $(t_{N-1}, t_N]$  — полуинтервал, отвечающий  $N$ -му циклу. В условие (1.1) входит обобщенная сила  $G_j$ , продвигающая систему трещин по  $j$ -й координате и зависящая помимо  $\mathbf{l}$  и  $\mathbf{d}$  от значений номинальных напряжений  $\sigma_y(t)$  и  $\tau_{xy}(t)$ . Для изотропного материала определим ее по формуле Ирвина

$$G_j = \frac{1-\nu^2}{E} (K_{1j}^2 + K_{2j}^2) \quad (j=1, \dots, m_1) \quad (1.2)$$

Здесь  $K_{1j}$ ,  $K_{2j}$  — коэффициенты интенсивности напряжений,  $\nu$  — коэффициент Пуассона,  $E$  — модуль упругости.

По значениям коэффициентов интенсивности напряжений для взаимодействующих трещин имеется обширная литература (см., например, [3]). При отсутствии необходимого решения в литературе, нужный результат можно получить, например, методом сингулярных интегральных уравнений, подобрав соответствующую асимптотическую аппроксимацию.

В условии (1.1) входит также обобщенная сила  $\Gamma_j$  сопротивления продвижению фронта трещины по  $j$ -й координате. Сила  $\Gamma_j$  зависит от уровня повреждений перед фронтом трещины. Будем различать две меры рассеянных повреждений. Мера  $\varphi_1 = (\varphi_{11}, \dots, \varphi_{1, 2m})$  учитывает микротрещины нормального отрыва, ориентированные вдоль оси трещины. Мера  $\varphi_2 = (\varphi_{21}, \dots, \varphi_{2, 2m})$  учитывает микротрещины сдвига, ориентированные в том же направлении. Примем, что меры повреждений могут быть вычислены из разностных уравнений [2]:

$$\varphi_{1j}(\lambda_j, N) - \varphi_{1j}(\lambda_j, N-1) = (\Delta\sigma_j - \Delta\sigma_{th})^{n_1} / \sigma_j^{n_1} \quad (1.3)$$

$$\varphi_{2j}(\lambda_j, N) - \varphi_{2j}(\lambda_j, N-1) = (\Delta\tau_j - \Delta\tau_{th})^{n_2} / \tau_j^{n_2} \quad (j=1, \dots, m)$$

Здесь  $\Delta\sigma_j(\lambda_j, N)$  и  $\Delta\tau_j(\lambda_j, N)$  — соответственно размахи напряжений отрыва и напряжений сдвига в течение  $N$ -го цикла в точке, лежащей на продолжении соответствующей трещины в направлении  $j$ -й обобщенной координаты,  $\sigma_j$ ,  $\tau_j$  — характеристики материала, описывающие его сопротивление накоплению рассеянных повреждений,  $\Delta\sigma_{th} \geq 0$ ,  $\Delta\tau_{th} \geq 0$  — пороговые значения, начиная с которых происходит накопление повреждений,  $n_1$ ,  $n_2$  — постоянные показатели, аналогичные показателям кривых усталости. При вычислении  $\sigma_j$ ,  $\tau_j$  принимаем, что фронт трещины создает конечную концентрацию напряжений, величина которой определяется соотношением между размерами трещин, расстояниями между их серединами и характерным радиусом кривизны на фронте трещины  $\rho$ . Этот радиус, по предположению теории [1, 2], при заданных условиях окружающей среды и заданной температуре является постоянной материала. В пределах одного элемента структуры размера  $\rho_0$  напряжения  $\sigma_j$ ,  $\tau_j$  считаем постоянными. На больших расстояниях от фронта воспользуемся формулами Инглиса — Вильямса. Обобщенную силу  $\Gamma_j$  определим по формуле  $\Gamma_j = 2\gamma_0 [1 - (\varphi_{1j} + \varphi_{2j})^\alpha]^\beta$ , аналогичной используемой в [2]. Здесь  $\gamma_0$  — удельная работа разрушения при продвижении трещины в неповрежденном материале,  $\alpha$ ,  $\beta$  — положительные числа.

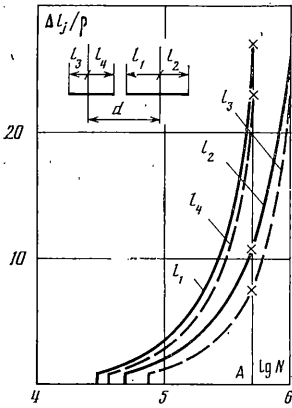
Приращение  $\Delta l_j(N) = l_j(N) - l_j(N-1)$  размера трещины по  $j$ -й координате за  $N$ -й цикл нагружения найдем из условия энергетического баланса

$$\int_{1(N-1)}^{1(N)} G_j[K_{1j}(\lambda, t_*) , K_{2j}(\lambda, t_*)] d\lambda = \int_{1(N-1)}^{1(N)} \Gamma_j[\varphi_{1j}(\lambda, t_*) , \varphi_{2j}(\lambda, t_*)] d\lambda \quad (1.4)$$

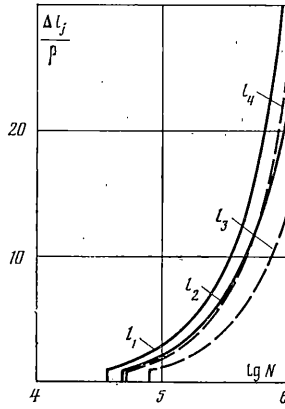
При этом  $t_*$  — момент достижения супремума в условии (1.1). Принято, что приращение вектора  $\lambda$  происходит по обобщенной координате  $l_j$ , а остальные координаты остаются неизменными. Таким образом, представленный метод является в сущности численным экспериментом, моделирующим рост усталостных трещин.

2. Рассмотрим случай, когда тело ослаблено системой двух коллинеарных трещин неравной длины (фиг. 1). Для начальной полудлины  $n$ -й трещины введем обозначение  $l_n$ , для текущей —  $l_n^\circ$ . Тело подвержено циклическому нагружению усилиями  $\sigma_1$  и  $\sigma_2$  в двух взаимно перпендикулярных направлениях. Трещины наклонены под углом  $\alpha_0$  к направлению усилия  $\sigma_1$ . В этом случае номинальные напряжения  $\sigma_y$  и  $\tau_{xy}$  определяются формулами  $\sigma_y = \frac{1}{2}[\sigma_1 + \sigma_2 - (\sigma_1 - \sigma_2) \cos 2\alpha_0]$ ,  $\tau_{xy} = (\sigma_1 - \sigma_2) \sin \alpha_0 \cos \alpha_0$ . Выражения для коэффициентов интенсивности напряжений этой задачи получены в [4]

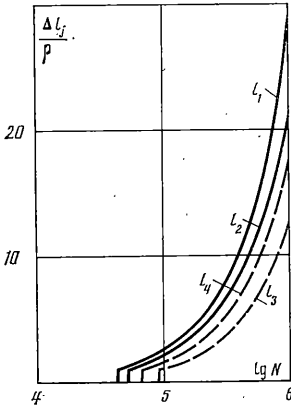
$$K_{1n}^\pm - iK_{2n}^\pm = \pm s\pi^{1/2} \frac{E_1(r) [l_n^\circ \mp (-1)^n d]^2 - E_1(r) (l_n^\circ)^2 + E_2(r) [(l_n^\circ - l_n^\circ)^2 - d^2]}{2\{l_n^\circ [(\pm l_n^\circ - (-1)^n d)^2 - (l_n^\circ)^2]\}^{1/2}} \quad (2.1)$$



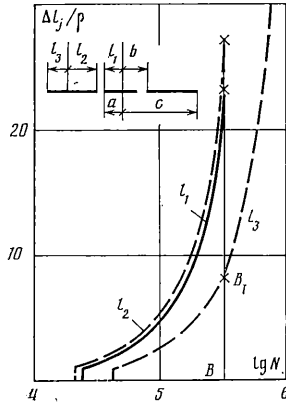
Фиг. 1



Фиг. 2



Фиг. 3



Фиг. 4

$$r^2 = \frac{4l_n^\circ l_k^\circ}{d^2 - (l_n^\circ - l_k^\circ)^2}, \quad s = \sigma_y - i\tau_{xy} \quad (n \neq k = 1, 2)$$

Здесь положительный знак в первой формуле относится к правой вершине трещины, отрицательный — к левой;  $E_1, E_2$  — полные эллиптические интегралы первого и второго рода,  $n, k$  — номера трещины.

Процесс численного моделирования состоит в следующем. Для начальных длин трещин  $l_{10}, l_{20}$  проверяем условие (1.1), выполнение которого при  $j=k$  означает неустойчивость трещины по  $k$ -й координате. Для данного примера неустойчивость по обобщенным координатам  $l_1$  или  $l_4$  означает слияние трещин, по  $l_2$  или  $l_3$  — финальное разрушение тела. При невыполнении условия (1.1) решаем разностные уравнения (1.3) относительно мер повреждений  $\varphi_1$  и  $\varphi_2$ . На каждом шаге с учетом (1.2) и (2.1) проверяем условие (1.1). Решение уравнений (1.3) прекращаем на цикле  $N_*$ , при котором обобщенная сила  $G_k$ , продвигающая трещину по  $k$ -й координате, становится больше обобщенной силы  $\Gamma_k$ , сдерживающей продвижение. Приращение длины трещины по  $k$ -й координате найдем путем численного интегрирования уравнения (1.4). Далее процесс повторяется снова.

Вычисления были выполнены при следующих исходных данных:  $\sigma_1 = \sigma_2 = 5$  МПа,  $\rho = 0,0001$  м,  $E = 200$  ГПа,  $\nu = 0,3$ ,  $n_1 = n_2 = 2$ ,  $K_{1c} = 155$  МПа м<sup>1/2</sup>,  $\sigma_f = \tau_f = 2K_{1c}(\pi\rho)^{-1/2}$ ,  $\Delta\sigma_{th} = \Delta\tau_{th} = 0$ ,  $\alpha = 2$ ,  $\beta = 1$ ,  $\alpha_0 = \pi/6$ ,  $l_{10} = 0,045$  м,  $l_{20} = 0,02$  м. Результаты расчетов для различных расстояний  $d$  между трещинами приведены на фиг. 1–3. Для этих графиков  $d = 0,07; 0,075; 0,08$  м соответственно. Графики иллюстрируют зависимости приращений длин трещин по четырем координатам от числа циклов нагружения. Сплошные линии относятся к первой трещине, штриховые — ко второй. На фиг. 1

момент слияния двух трещин отмечен точкой  $A$ . С увеличением расстояния между трещинами взаимодействие их быстро ослабевает, что видно по сближению как сплошных, так и штриховых кривых на фиг. 1–3. Число циклов до потери устойчивости увеличивается.

В качестве второго примера рассмотрим три коллинеарные трещины (фиг. 4). Процесс нагружения оставим прежним. Выражения для коэффициентов интенсивности получены в [3]:

$$\begin{aligned}
 K_{11}^+ - iK_{21}^+ &= s\pi^{1/2} \frac{E_2(r)}{E_1(r)} \left[ \frac{(c^2 - a^2)a}{b^2 - a^2} \right]^{1/2} \\
 K_{12}^- - iK_{22}^- &= s\pi^{1/2} \frac{[(c^2 - a^2)E_2(r) - (b^2 - a^2)E_1(r)]b^{1/2}}{[(b^2 - a^2)(c^2 - b^2)]^{1/2}E_1(r)} \\
 K_{12}^+ - iK_{22}^+ &= s\pi^{1/2} \frac{E_1(r) - E_2(r)}{E_1(r)} \left[ \frac{(c^2 - a^2)c}{c^2 - b^2} \right]^{1/2} \\
 r^2 &= (c^2 - b^2)/(c^2 - a^2), \quad s = \sigma_y - i\tau_{xy}
 \end{aligned} \tag{2.2}$$

Вычисления проведены для  $a=0,02$  м,  $b=0,025$  м,  $c=0,115$  м. Остальные численные данные не изменены. Результаты расчетов приведены на фиг. 4. Сплошная линия относится к центральной трещине, штриховые — к концам боковых. В момент  $B$  слияния трещин происходит резкое увеличение скорости роста трещины по координате  $l_3$  (точка  $B_1$ ).

Описанный метод применим для расчета не только коллинеарных трещин, но и трещин, расположенных произвольно. Для расчета последних следует отказаться от предположения о прямолинейности распространения трещин и вычислять траекторию их продвижения. Коэффициенты интенсивности напряжений будут зависеть от геометрии трещин и их взаимного расположения. В этом случае для их определения невозможно получить аналитических выражений, и вычислять эти коэффициенты придется численно (например, методом, предложенным в [4]). Это обстоятельство значительно усложняет расчет. После определения коэффициентов интенсивности напряжений из условия (1.1) найдем направление распространения трещины [5]. Все остальное в методе численного моделирования останется без существенного изменения.

#### ЛИТЕРАТУРА

1. *Бологин В. В.* Уравнение роста усталостных трещин. — Изв. АН СССР. МТТ, 1983, № 4, с. 153–160.
2. *Бологин В. В.* Объединенные модели в механике разрушения. — Изв. АН СССР. МТТ, 1984, № 3, с. 127–137.
3. *Панасюк В. В., Саврук М. П., Дацишин А. П.* Распределение напряжений около трещин в пластинках и оболочках. Киев: Наук. думка, 1976. 443 с.
4. *Саврук М. П.* Двумерные задачи упругости для тел с трещинами. Киев: Наук. думка, 1981. 324 с.
5. *Бологин В. В.* Энергетический подход к описанию роста усталостных трещин при неоднородном напряженном состоянии. — ПМТФ, 1985, № 2, с. 136–143.

Москва

Поступила в редакцию  
18.XI.1985